

Research Paper

## Effect of Calcination Temperature and Reaction Time on the Properties of CdS Nanoparticles Prepared by Sol-Gel Method<sup>1</sup>

Zohreh Arzi<sup>2\*</sup>, Alireza Razeghizadeh<sup>3</sup>, Morteza Zargar Shoushtari<sup>4</sup>

Received: 2019.03.16

Accepted: 2020.07.27

### Abstract

In this research, cadmium sulphide (CdS) nanoparticles were prepared by sol-gel chemical method. After reaching the appropriate synthesis method, the reaction time of these nanoparticles were studied. Three samples were synthesized with different reaction times of 60, 100 and 140 minutes, and analyzed with X-ray diffraction (XRD). According to the results, the sample with the reaction time of 140 minutes was recognized as the best sample. These samples (with a reaction time of 140 min) are calcinated at temperatures 500, 600, 700 and 800°C and their properties are compared. Scanning electron microscopy (SEM), X-ray diffraction (XRD) and energy-dispersive X-ray spectroscopy (EDS) were used for characterization of the samples. SEM and XRD were used to investigate the morphology and crystal structures. X-ray diffraction results showed that the purity of cadmium sulfide nanoparticles and their crystallinity and the size of crystallites were increased with increasing calcination temperature and stronger scattering pattern peaks, which was predictable. The structure of nanoparticles was also hexagonal. The SEM images depicted the spherical shape of nanoparticles. It also measured the average size of nanoparticles about 67nm, which was increased with increasing temperature. The EDS results also showed the atomic percentage and the weight percentage correctly.

**Keywords:** *Nanoparticles, CdS, Cadmium Sulphide, Sol-Gel, Calcination.*

<sup>1</sup> DOI: 10.22051/jap.2020.25260.1122

<sup>2</sup> M. Sc. Student of Physics, Department of Physics, Payame Noor University, P.O. Box 19395-3697, Tehran, Iran. (Corresponding Author). Email: zohreh\_arzi@yahoo.com

<sup>3</sup> Assistant Professor, Department of Physics, Payame Noor University, P.O. Box 19395-3697, Tehran, Iran. Email: alirezarazeghizadeh@yahoo.com

<sup>4</sup> Professor, Department of Physics, Shahid Chamran University of Ahvaz, Ahvaz, Iran. Email: m\_zargar@scu.ac.ir.

## مقاله پژوهشی

# بررسی تأثیر دمای کلسینه شدن و زمان واکنش در خواص نانوذرات سولفید کادمیوم تهیه شده به روش سلژل<sup>۱</sup>

ذهره ارضی<sup>۲</sup>، علیرضا رازقیزاده<sup>۳</sup>، مرتضی ذرگر شوشتاری<sup>۴</sup>

تاریخ دریافت: ۱۳۹۷/۱۲/۲۵

تاریخ پذیرش: ۱۳۹۹/۰۴/۰۷

## چکیده

در این پژوهش نانوذرات سولفید کادمیوم (CdS) به روش شیمیابی سلژل تهیه شده است. پس از دست یابی به روش سنتز مناسب و بهینه‌سازی آن، به منظور بررسی زمان واکنش بر خواص این نانوذرات، سه نمونه مجزا با سه زمان واکنش متفاوت ۶۰ و ۱۰۰ و ۱۴۰ دقیقه ساخته شد و تحت بررسی آزمون XRD قرار گرفت. با توجه به نتایج، نمونه دارای زمان واکنش ۱۴۰ دقیقه بهترین نمونه قلمداد شد. سپس نمونه‌هایی با زمان واکنش ۱۴۰ دقیقه با شرایط یکسان در دماهای کلسینه مختلف ۵۰۰، ۶۰۰، ۷۰۰ و ۸۰۰ درجه سلسیوس تهیه شد. پس از تهیه نمونه‌ها، اندازه ذرات و ریخت آن‌ها با یکدیگر مقایسه شد. پودرهای

<sup>۱</sup> DOI: 10.22051/jap.2020.25260.1122

<sup>۲</sup> دانشجوی کارشناسی ارشد فیزیک، گروه فیزیک، دانشگاه پیام نور، صندوق پستی ۳۶۹۷-۱۹۳۹۵، تهران، ایران.  
نویسنده مسئول: zohreh\_arzi@yahoo.com

<sup>۳</sup>- استادیار، گروه فیزیک، دانشگاه پیام نور، صندوق پستی ۳۶۹۷-۱۹۳۹۵، تهران، ایران.  
alirezarazeghzadeh@yahoo.com

<sup>۴</sup> استاد، گروه فیزیک، دانشگاه شهید چمران اهواز، اهواز، ایران. m\_zargar@scu.ac.ir

## ۶ / بررسی تأثیر دمای کلسینه شدن و زمان واکنش در خواص نانوذرات سولفید کادمیوم تهیه شده به روش سل-ژل

حاصل به وسیله روش های XRD و SEM و EDS مشخصه یابی شدند. ریخت شناسی پودر و بررسی عنصری به وسیله میکروسکوپ الکترونی روشنی و ساختار بلوری به وسیله پراش اشعه ایکس بررسی شد. تحلیل پراش اشعه ایکس نشان داد که خلوص نانوذرات سولفید کادمیوم و بلورینگی آن و اندازه بلور که با افزایش دمای کلسینه شدن افزایش یافته و قله های الگوی پراش قوی تر شده است، که پیش بینی می شد. همچنین، ساختار نانوذرات، هگزاگونال تشخیص داده شد. تصاویر میکروسکوپ الکترونی روشنی شکل کروی نانوذرات را نشان داد و میانگین اندازه نانوذرات با افزایش دما روند افزایشی داشت و در بیشترین حالت ۶۷ نانومتر بود. نتایج EDS نیز درصد اتمی و درصد وزنی صحیحی را نشان داد.

**واژگان کلیدی:** نانوذرات،  $CdS$ ، سولفید کادمیوم، سل-ژل، دمای کلسینه.

### ۱. مقدمه

در این تحقیق ساخت نانوذرات سولفید کادمیوم انجام شده است. سولفید کادمیوم ماده ای معدنی با فرمول  $CdS$  و از نیمرساناهای گروه II-VI جدول تناوبی است. ساختار بلوری این ماده را می توان به چهار دسته تقسیم کرد. ساختار شش گوشی (ورتزايت)، مکعبی (بلند روی)، سنگ نمکی مکعبی، سنگ نمکی ناهمگون. عناصر این گروه خواص جالب توجهی دارند و ساخت نیمرساناهای این گروه آسان است. سولفید کادمیوم از مهم ترین نیمرساناهای ترکیبی این گروه است و دارای پهنه ای شکاف مستقیم  $2/42\text{ eV}$  در حالت کپه ای است و طیف عظیمی از کاربردهای الکتریکی و نوری دارد. نانوذرات نیمرسانا خاصیت شیمیایی و فیزیکی منحصر به فردی دارند، که در مقایسه با مواد کپه ای به شدت متفاوت است [۵-۱]. از خواص سولفید کادمیوم می توان به ضریب عبور عالی نور مرئی، توان نورتابی بزرگ، طول پخش زیاد، خواص فوتورسانایی، شکاف نواری پهن و الکترون خواهی زیاد اشاره کرد [۷-۶].

در سال ۱۹۸۲، هنگ لین یک جابه جایی آبی در طیف جذب محلول کلوئیدی سولفید کادمیوم در مقایسه با توده این ماده مشاهده کرد [۸] و پس از آن اولین تحقیقات بر نانوذرات سولفید کادمیوم در سال ۱۹۸۴ انجام شد [۹]. مطالعه دیگری در سال ۱۹۹۰ بر این ماده انجام شد [۱۰]. مهم ترین مرحله پیشرفت این مطالعات در سال ۱۹۹۳ توسط گروه مورای و ابداع روش های سنتر با انتخاب اندازه انجام گرفت [۱۱]. ویژگی های بسیار این ماده باعث شد که مطالعات زیادی روی سولفید کادمیوم یا به صورت ترکیب با دیگر مواد صورت بگیرد [۱۲-۱۴].

در حال حاضر روش‌های متنوعی برای ساخت نانوذرات سولفید کادمیوم وجود دارد که می‌توان از آن‌ها به مواردی مانند محلول‌های کلوئیدی، لایه‌نشانی شیمیایی، سل‌ژل، فاز بخار، کاتدپراکنی مغناطیسی، لایه‌نشانی الکتروستاتیکی و ... اشاره کرد [۱۵-۱۶]. روش سل‌ژل در سال‌های اخیر، به عنوان یکی از مهم‌ترین روش‌ها برای آماده‌سازی مواد گوناگون مثل شیشه‌های یکپارچه، فیبرها، نانوپودرها و لایه‌های نازک یا پوشش‌ها به کار برده شده است [۱۷-۲۶]. این روش در مقایسه با روش‌های سنتی، به دلیل مزایایی از قبیل خلوص عالی فراورده، همگنی شیمیایی بسیار خوب، دمای پایین فرایند، ارزانی دستگاه‌های مورد نیاز و ساده بودن، روش مناسبی است [۲۷-۳۰].

در بعضی مواد، برای بلوری کردن ذرات تولیدی، آنها را حرارت داده و کلسینه می‌کنند. بلوری شدن فازهای آمورف تولید شده در روش سل‌ژل اهمیت دارد. با افزایش زمان کلسینه کردن همراه با بلوری شدن ذرات، بهم چسیدگی و کلوخه شدن آن‌ها نیز اتفاق می‌افتد. زمان و دمای کلسینه کردن در ساختار بلوری و ابعاد ذرات تولیدی و در مواردی تغییر ریخت مؤثر است [۳۱].

در این پژوهش، نانوذرات سولفید کادمیوم با استفاده از روش سل‌ژل ساخته شده است و تأثیر زمان واکنش و دمای کلسینه شدن در خواص نانوذرات CdS بررسی شده است.

## ۲. مواد و روش آزمایش

برای این پژوهش، از مواد اولیه نیترات کادمیوم ( $\text{CdN}_2\text{O}_6\text{H}_2\text{O}$ )، تیواوره ( $\text{CH}_4\text{N}_2\text{S}$ )، آمونیاک مایع ( $\text{NH}_3$ ) و هیدروکسید سدیم ( $\text{NaOH}$ ) استفاده کردیم. مواد از شرکت مرک خریداری شد و بدون خالص‌سازی اضافی استفاده شد. هم‌زمان، دو بشر هریک حاوی ۱۰۰ ml آب مقطر به دمای ۸۰°C رسانده شد. ۲,۵ g نیترات کادمیوم به یک بشر اضافه کردیم و این محلول کادمیومی را نامیدیم. ۲,۸ g تیواوره و ۵ ml آمونیاک مایع به بشر دیگر اضافه کرده و این محلول گوگردی را نامیدیم. هر دو به مدت ۱۵ دقیقه روی هم زده شدند.

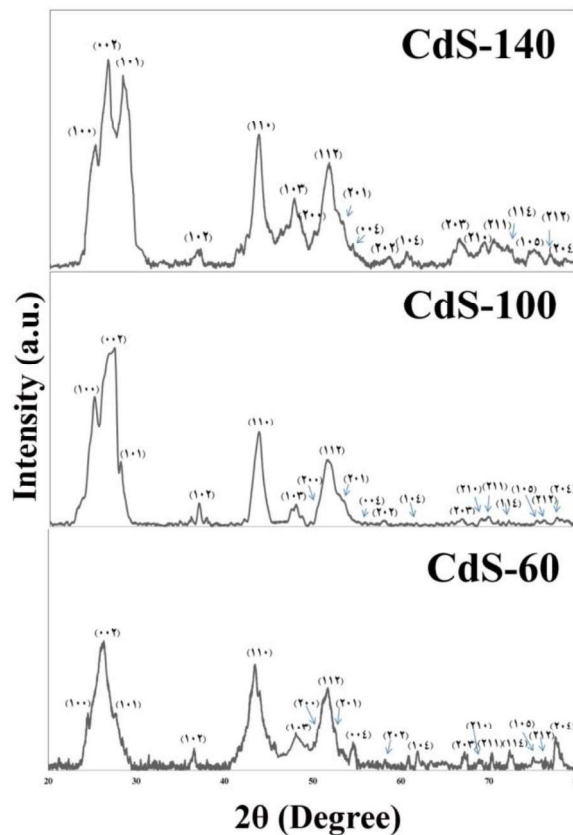
پس از گذشت این زمان، دو محلول A و B در یک بشر بزرگ‌تر مخلوط شده و مجدد به هم زده شد تا به خوبی با یکدیگر مخلوط شوند و یک سل همگن به دست آید. مدت زمان کلی به هم‌زدن برای سه نمونه مجزا، ۶۰ و ۱۰۰ و ۱۴۰ دقیقه در نظر گرفته شد. رنگ محلول ابتدای مخلوط کردن پرتقالی و سپس نارنجی شد. در طول این فرایند مقدار pH برابر ۹ به وسیله افزودن سدیم هیدروکسید تنظیم شد. در تمام مدت به هم‌زدن، دما در  $80 \pm 2^\circ\text{C}$  نگاه داشته شد. فاز جامد

## ۸ / بررسی تأثیر دمای کلسینه شدن و زمان واکنش در خواص نانوذرات سولفید کادمیوم تهیه شده به روش سل-ژل

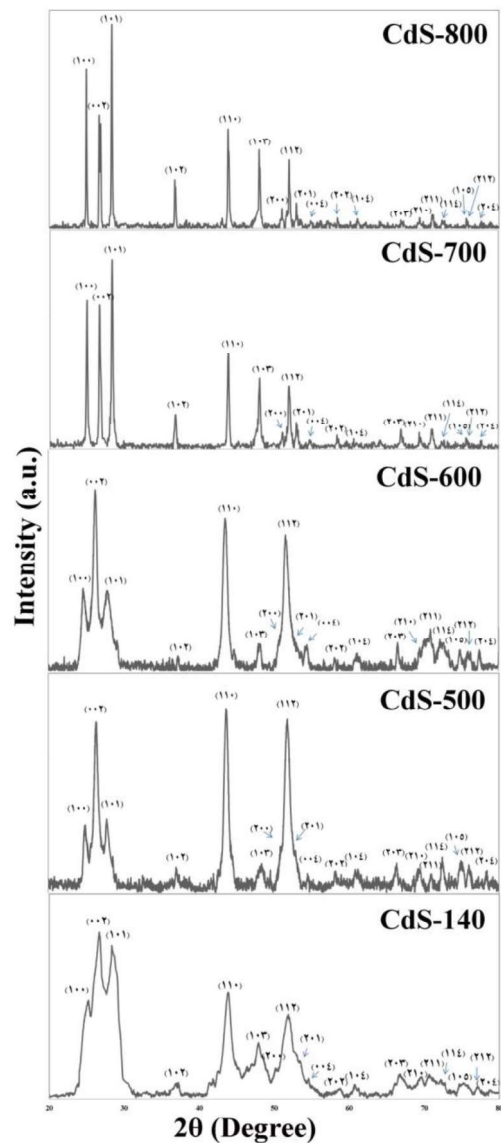
به دست آمده مرطوب بود، لذا در آون با دمای  $100^{\circ}\text{C}$  قرار داده شد تا خشک شود. سپس رسوب خشک شده با آب مقطر و اتانول شسته شده، فاز جامد آن را به وسیله سانتریفیوژ جدا کردیم و برای تبخیر حلال باقی مانده در رسوب، در آون  $100^{\circ}\text{C}$  قرار داده شد. به منظور بررسی کردن دمای کلسینه نمونه های تهیه شده با  $140$  دقیقه، بهم زدن به طور مجزا برای کلسینه شدن، در کوره با دماهای  $500$ ،  $600$ ،  $700$  و  $800$  درجه سلسیوس حرارت داده شد و سپس به وسیله هاون آسیاب شد.

### ۳. نتایج و بحث

از نمونه ها الگوی پراش اشعه ایکس با استفاده از دستگاه اشعه ایکس ساخت شرکت Seifert مدل ID3003، با آند مس و طول موج  $540.56\text{ Å}$  آنگسترم در محدوده  $2\theta$  از  $20$  تا  $80$  درجه تهیه شد، که در شکل ۱ و ۲ نشان داده شده است.



شکل ۱ الگوی پراش اشعه ایکس برای زمان های واکنش متفاوت.



**شکل ۲** الگوی پرash اشعه ایکس برای نمونه کلسینه نشده (CdS-140) و نمونه‌های با دمای کلسینه متفاوت.

ساختار سولفید کادمیوم هگزاگونال با کارت JCPDS به شماره ۱-۰۷۷-۲۳۰۶ تشخیص داده شد، بلندترین قله در جهت [۰۰۲] است. با استفاده از رابطه شرر اندازه متوسط نانوبلورک‌ها از رابطه (۱) به دست آمد [۳۲].

$$D = \frac{(0.9\lambda)}{(\beta \cos \theta)} \quad (1)$$

## ۱۰ / بررسی تأثیر دمای کلسینه‌شدن و زمان واکنش در خواص نانوذرات سولفید کادمیوم تهیه شده به روش سل-تل

در این رابطه،  $D$  اندازه بلورک‌ها،  $\lambda$  طول موج اشعه ایکس،  $\beta$  پهنا در نیم ارتفاع بر حسب رادیان و  $\theta$  زاویه تفرق است. همچنین درصد بلورینگی از تقسیم مجموع مساحت زیر قله‌ها به مساحت کل زیر نمودار پراش اشعه ایکس به صورت درصد، محاسبه شده است.

باتوجه به الگوهای پراش شکل ۱ و مقایسه پهنا قله‌ها و درصد بلورینگی در جدول ۱، بهترین الگو مربوط به نمونه با زمان واکنش ۱۴۰ دقیقه است. صفحات اصلی (۱۰۰)، (۱۰۱)، (۱۰۲)، (۱۰۳)، (۱۱۰) و (۱۱۲) با افزایش زمان واکنش از ۶۰ تا ۱۰۰ و تا ۱۴۰ دقیقه تقویت شده‌اند که این مطلب را می‌توان به تکمیل شدن فرایند تبلور نسبت داد. با مقایسه الگوی پراش نمونه CdS-140 در شکل ۱ که همان نمونه کلسینه نشده است با الگوهای پراش نمونه‌های کلسینه شده در شکل ۲ مشاهده می‌شود که در الگوی CdS-500 و CdS-600 قله‌ها قوی‌تر شده‌اند ولی در الگوی تفرق نمونه‌های CdS-700 و CdS-800 که در دماهای بالاتری کلسینه شده‌اند، ضمن افزایش شدت، پهنا قله‌های اصلی سولفید کادمیوم کاهش یافته است، که می‌تواند گواه بر افزایش متوسط قطر بلورک‌های این فاز در مقایسه با نمونه‌های CdS-500 و CdS-600 باشد. این امر به این دلیل رخ می‌دهد که دمای بالای کلسیناسیون موجب تقویت فرایند تبلور می‌شود؛ زیرا در این دما بلورها نیروی محرکه لازم را برای رشد و تبلور دارند و درنتیجه بزرگ‌تر و متبلور شده‌اند که در نتیجه این، افزایش درجه بلوری است.

جدول ۱ درصد بلورینگی نمونه‌ها با زمان واکنش متفاوت.

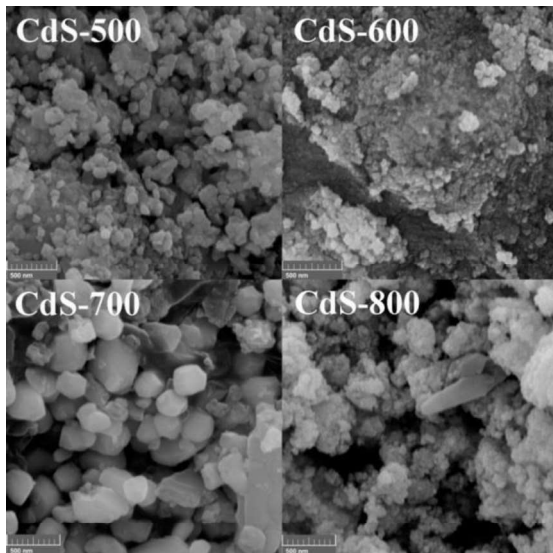
زمان واکنش (min)	CdS-140	CdS-100	CdS-60
درصد بلورینگی	۷۶	۷۵	۷۲

در جدول ۲ اندازه متوسط نانوبلورک‌ها و درصد بلورینگی آمده است. برای تعیین اندازه از قله‌های مربوط به صفحه‌هایی که دارای بیشترین شدت هستند به دلیل وضوح و تفکیک مناسب آن‌ها از سایر قله‌ها استفاده شده است. مطابق این جدول با افزایش دمای کلسینگی، اندازه متوسط نانوبلورک‌ها و درصد بلورینگی زیاد شده است. در اینجا کمترین بلورینگی مربوط به نمونه‌های CdS-500 و CdS-600 و بیشترین بلورینگی مربوط به نمونه CdS-800 است. قله‌های پراش با افزایش دما، واضح‌تر و قوی‌تر شده‌اند، که نشانگر بهبود بلورینگی است. البته اختلاف بین درصد بلورینگی محاسبه شده برای این چهار نمونه بسیار کم است. اما به طور کلی با افزایش دما از ۶۰۰°C به ۷۰۰°C درصد بلورینگی افزایش یافته است.

**جدول ۲** اندازه متوسط نانوبلورک‌ها و درصد بلورینگی نمونه‌ها با دمای کلسینه متفاوت.

CdS-800	CdS-700	CdS-600	CdS-500	دما <sup>ی</sup> تکلیس (°C)
۴۶	۳۶	۲۴	۲۳	اندازه متوسط نانوبلورک (nm)
۸۱	۸۰	۷۸	۷۸	درصد بلورینگی

شکل ۳، تصاویر میکروسکوپ الکترونی روبشی MIRA3-LMU مدل FE-SEM واقع در دانشگاه لرستان، از نمونه‌ها را با مقیاس ۵۰۰ nm نشان می‌دهد. در این تصاویر دانه‌ای بودن و ریخت کروی ذرات دیده می‌شود. اندازه ذرات به دست آمده از شکل، در جدول ۳ آمده است. مشاهده می‌شود که با افزایش دمای کلسینه شدن، اندازه میانگین نانوذرات افزایش می‌یابد که احتمالاً به دلیل به هم چسبیدگی ذرات به دلیل دمای بالای کلسینه شدن است. اندازه ذرات مشخص شده از تصاویر SEM نشان می‌دهد که هر ذره می‌تواند شامل چند بلورک باشد.



شکل ۳ تصاویر SEM پودرهای .CdS

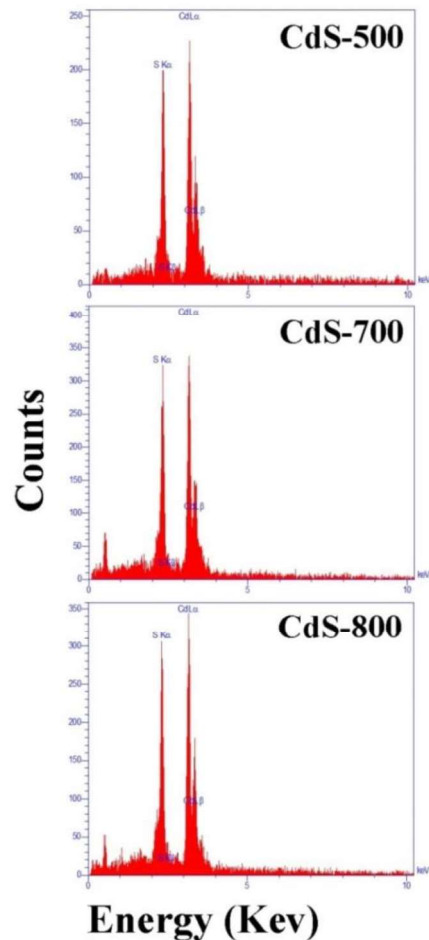
**جدول ۳** اندازه میانگین نانوذرات CdS

CdS-800	CdS-700	CdS-600	CdS-500	نام نمونه
۶۷	۶۶	۲۸	۲۷	اندازه میانگین نانوذرات (nm)

شکل ۴ آنالیز عنصری انرژی اشعة ایکس (EDS) درصد عناصر تشکیل‌دهنده را مشخص می‌کند. این آنالیز برای اولین نمونه کلسینه شده و دو نمونه نهایی که دارای الگوی پراش ایکس

## ۱۲ / بررسی تأثیر دمای کلسینهشدن و زمان واکنش در خواص نانوذرات سولفید کادمیوم تهیه شده به روش سل-ژل

منطبق تری نسبت به الگوی استاندارد معرفی شده بود، انجام شد. این درصد در جدول ۴ مشخص است. درصد اتمی گوگرد و کادمیوم با هم برابر است و درصد وزنی نیز با توجه به جرم اتمی نسبت مولی ۱ را نشان می‌دهد.



شکل ۴ نمودار بررسی عنصری EDS نمونه های .CdS

جدول ۴ نتایج آنالیز EDS مربوط به پودرهای .CdS

نام نمونه	Cd درصد وزنی	S درصد وزنی	Cd درصد اتمی	S درصد اتمی
CdS-500	۷۷,۷۹	۲۲,۲۱	۴۹,۹۸	۵۰,۰۲
CdS-700	۷۶,۸۲	۲۳,۱۸	۴۸,۵۹	۵۱,۴۱
CdS-800	۷۶,۳۱	۲۳,۶۹	۴۷,۸۹	۵۲,۱۱

#### ۴. نتیجه‌گیری

نانوذرات CdS با استفاده از روش سلیزل تهیه شده است. پراش اشعه ایکس فاز همگرایونال را برای ساختار نمونه‌ها نشان می‌دهد. افزایش زمان واکنش، افزایش اندازه نانوبلورکها و درصد بلورینگی بدست آمده از XRD را به همراه داشته است. همچنین، با افزایش دمای کلسينگی، اندازه متوسط نانوبلورکها و درصد بلورینگی و اندازه ذرات حاصل از آنالیز SEM، افزایش داشته است. تصاویر SEM دانه‌ای و کروی بودن ذرات را نشان می‌دهد. آنالیز EDS وجود عناصر گوگرد و کادمیم را در نمونه‌ها تأیید می‌کند.

#### سپاسگزاری

از مسئولان آزمایشگاه‌های گروه فیزیک دانشگاه پیام نور مرکز اهواز کمال تشکر را داریم.

#### منابع

- [1] Romeo N., Bosio A., Tedeschi R., Romeo A., Canevari V., A highly efficient and stable CdTe/CdS thin film solar cell, *Solar Energy Materials & Solar Cells*, 58, 209-218, 1999.
- [2] Kumar A., Mital S., Electronic and photocatalytic properties of purine(s)-capped CdS nanoparticles in the presence of tryptophol, *Journal of Molecular Catalysis A: Chemical*, 219, 65-71, 2004.
- [3] Solanki R. G., Rajaram P., Structural, optical and morphological properties of CdS nanoparticles synthesized using hydrazine hydrate as a complexing agent, *Nano-Structures & Nano-Objects*, 12, 157-165, 2017.
- [4] Sonker R. K., Yadav B.C., Gupta V., Tomar M., Synthesis of CdS nanoparticle by sol-gel method as low temperature NO<sub>2</sub> sensor, *Materials Chemistry and Physics*, 239, 121-975, 2020.
- [5] Hadeel Salih Mahdi, Azra Parveen, Shraddha Agrawal, Ameer Azam, Microstructural and optical properties of sol gel synthesized CdS nano particles using CTAB as a surfactant, *AIP Conf. Proc.*, 1832, 050012-1-050012-3, 2017.
- [6] Sivaramamoorthy K., Asath Bahadur S., Kottaisamy M., Murali K. R., Properties of CdS films deposited by the electron beam evaporation technique, *Journal of alloys and compounds*, 503, 170-176, 2010.
- [7] Bhunia R., Ghosh B., Ghosh D., Hussain S., Bhar R., Pal A.K., Free-standing nanocrystalline-Cadmium sulfide/Polyvinylidene fluoride composite thin film: synthesis and characterization, *J. Polym. Res.*, 22, 71, 2015.
- [8] Hnglein A., Photo-degradation and fluorescence of colloidal-cadmium sulphide in aqueous solution, *Ber Bunsen-Ges. Phys. Chem.*, 86, 301- 305, 1982.
- [9] Meyer Mauricio, Warllberg Christer, Kurihara Kazu, Fendler Jonas H., Photosensitized charge separation and hydrogen production in reversed micelle Entrapped Palatinized colloidal cadmium sulfide, *Journal of the Chemical Society, Chemical Communications*, 2, 90-91, 1984.
- [10] Nogami M., Nagaska K., Kato E., Preparation of Small-Particle-Size, Semiconductor CdS-Doped Silica Glasses by the Sol-Gel Process, *J. Am. Cerorn. Soc.*, 73, 7, 2097-2099, 1990.

۱۴ / بررسی تأثیر دمای کلسانینه‌شدن و زمان واکنش در خواص نانوذرات سولفید کادمیوم تهیه شده به روش سلسل

- [11] Murray C. B., Norris D. J., Bawendi M. G., Synthesis and characterization of nearly monodisperse CdE (E = S, Se, Te) Semiconductor nanocrystallites, *J. Am. Chem. Soc.*, 115, 8706-8715, 1993.
- [12] Krishnakumar B., Ravikumar S., Pandiyan V., Nithya V., Sylvestre S., Sivakumar P., Surya C., John N.A.A., Sobral A.J.F.N., Synthesis, characterization of porphyrin and CdS modified spherical shaped SiO<sub>2</sub> for Reactive Red 120 degradation under direct sunlight, *Journal of Molecular Structure*, 1210, 128021, 2020.
- [13] Eskandari P., Kazemi F., Preparation and characterization of Fe<sub>3</sub>O<sub>4</sub>/SiO<sub>2</sub>/CdS nanocomposites as efficient magnetic photocatalysts for the reduction of nitro compounds under visible LED irradiation, *Journal of Photochemistry & Photobiology A: Chemistry*, 364, 233-239, 2018.
- [14] Wondmagegn W., Mejia I., Salas-Villasenor A., Stiegler H.J., Quevedo-Lopez M.A., Pieper R.J., Gnade B.E., CdS Thin Film Transistor for Inverter and Operational Amplifier Circuit Applications, *Microelectronic Engineering*, 157, 64-70, 2016.
- [15] Nanda K. K., sarangi S. N., Mohanty S., Sahu S. N., Optical properties of CdS nanocrystalline films prepared by a precipitation technique, *Thin solid films*, 322, 21-27, 1998.
- [16] Alpdoğan S., Adığuzel A. O., Sahan B., Tunçer M., Metin Gubur H., Effects of bacteria on CdS thin films used in technological devices, *Mater. Res. Express*, 4, 046402, 2017.
- [17] Curran M. D. and Stiegman A. E.; Morphology and pore structure of silica xerogels made at low pH, *Journal of Non-Crystalline Solids*, 249, 62-68, 1999.
- [18] Zhang H. X., Kam C. H., Zhou Y., Han X. Q., Buddhudu S., Lam Y. L., Visible up-conversion luminescence in Er<sup>3+</sup>:BaTiO<sub>3</sub> nanocrystals, *Optical Materials*, 15, 47-50, 2000.
- [19] Rusu M.I., Stefan C.R., Elisa M., Feraru I.D., Vasiliu I.C., Bartha C., Trusca R.D., Vasile E., Peretz S., CdS/ZnS-doped silico-phosphate films prepared by sol-gel synthesis, *Journal of Non-Crystalline Solids*, 481, 435-440, 2018.
- [20] Arya S., Sharma A., Singh B., Riyas M., Bandhoria P., Aatif M., Gupta V., Sol-gel synthesis of Cu-doped p-CdS nanoparticles and their analysis as p-CdS/n-ZnO thin film photodiode, *Optical Materials*, 79, 115-119, 2018.
- [21] Monde T., Fukube H., Nemoto F., Yoko T., Konakanharra T., Preparation and surface properties of silica-gel coating films containing branched-polyfluoroalkylsilane, *Journal of Non-Crystalline Solids*, 246, 54-64, 1999.
- [22] Hadeel Salih Mahdi, Azra Parveen and Ameer Azam, Microstructural and Optical Properties of Ni doped CdS Nanoparticles Synthesized by Sol Gel route, *Materials Today: Proceedings*, 5, 20636-20640, 2018.
- [23] Brinker C.J. and Scherer G.W., *Sol-Gel Science: the physics and chemistry of sol-gel processing*, San Diego: Academic Press, Boston. (1990).
- [24] Hofacker S., Mechtel M., Mager M., Kraus H., Sol-gel: a new tool for coatings chemistry, *Progress in Organic Coatings*, 45, 159-164, 2002.
- [25] Rathinamala I., Jeyakumaran N., Prithivikumaran N., Sol-gel assisted spin coated CdS/PS electrode-based glucose biosensor, *Vacuum*, 161, 291-296, 2019.
- [26] Liu D. M., Yang Q., Troczynski T., Tseng W.J., Structural evolution of sol-gel-derived hydroxyapatite, *Biomaterials*, 23, 1679-1687, 2002.
- [27] Thambidurai M., Murugan N., Muthukumarasamy N., vasantha S., Balasundaraprabhu R., Agilan S., preparation and characterization of nanocrystalline CdS thin films, *Chalcogenide letters*, Vol. 6 No. 4, 171-179, 2009.
- [28] Liu B., Wang L., Zhu Y., Xia Y., Huang W., Li Z., CdS sensitized sol-gel derived thin films of self-patterned micro-blocks of closely-packed SnO<sub>2</sub> nanoparticles as highperformance photoanodes in alkaline solution of methanol, *Electrochimica Acta*, 295, 130-138, 2019.

- [29] Hullavarad N. V., Hullavarad S. S., Synthesis and characterization of monodispersed CdS nanoparticles in SiO<sub>2</sub> fibers by sol-gel method, *Photonics and Nanostructures - Fundamentals and Applications*, 5, 156–163, 2007.
- [30] Kumar N., Pathak T. K., Purohit L.P., Swart H.C., Goswami Y.C., Self-assembled Cu doped CdS nanostructures on flexible cellulose acetate substrates using low cost sol-gel route, *Nano-Structures & Nano-Objects*, 16, 1–8, 2018.
- [31] Reli M., Koci K., MatejkaV., Kovar P., Obalova L., Effect of calcination temperature and calcination time on the kaolinite/TiO<sub>2</sub> composite for photocatalytic reduction of CO<sub>2</sub>, *GeoScience Engineering*, Vol. LVIII No.4, 10-22, 2012.
- [32] Cullity B.D., *Elements of X-ray Diffraction*, Addison-Wesley, Reading, Massachusetts, 102, 1972.